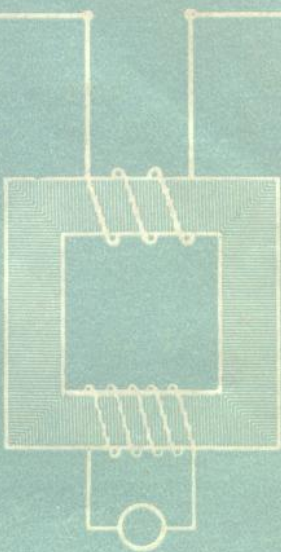


苏联 B. M. 巴尔兹洛维奇著



高压电流互感器

水利电力出版社



高压电流互感器

苏联 B.M. 巴尔茲洛維奇著
王光国翻譯 王文錚校訂

水利电力出版社

DS91/26
內容提要

本書簡明的介紹了電流互感器的理論基礎，講述蘇聯製造的高壓電流互感器的結構並列出了它們的数据。最後一部分還專門談到了有關電流互感器的選擇、運行和修理等問題。

本書適于發電廠和變電所的工程技術人員和專業工人以及安裝企業的工作人員閱讀。

В. М. БАРЗИЛОВИЧ
ВЫСОКОВОЛЬТНЫЕ ТРАНСФОРМАТОРЫ ТОКА
ГОСЭНЕРГОИЗДАТ МОСКВА 1956

高壓電流互感器

根據蘇聯國立動力出版社1956年莫斯科版翻譯

王光國譯 王文錚校訂

*

1159D332

水利電力出版社出版(北京西郊科學路二號)

北京市書刊出版業營業許可證字第105號

水利電力出版社印刷廠排印 新華書店發行

*

850×1168毫米開本 * 476印張 * 119千字 * 定價(第10類)0.85元

1958年9月北京第1版

1958年9月北京第1次印刷(001-3,800冊)

序

苏联的动力事业得到了飞跃的发展，建成並投入运行大量的发电厂和配电站，如伏尔加、卡瑪、安加拉、鄂毕和依尔德席等河流上的巨型水力发电站，建成了400千伏以下的許多远距离輸电线，广泛地开发地方动力資源等等。这样一来，一方面出現了一批新型的、运行部門尚不熟悉的高压电器，另一方面，这些电器还正在日益遍及全国。

这就使安装和运行部門的人員必須广泛地熟悉並了解苏联所生产的已有的以及新型的高压电器，其中也包括高压电流互感器。

本書的目的就是向发电厂、配电站和安装部門的工人和工程技术人員介紹电流互感器的新結構，它們的作用原理、特性和維护規則等。

由于篇幅的限制，著者不得不只叙述电流互感器的最基本的概念和一些必須談到的問題。

著者深深地感謝“电器”工厂的工程师尤金娜和霍梁夫斯基，他們在审閱本書时提供了一些宝贵的意見。也对本書的校訂者——科学技术副博士阿凡兰塞也夫表示感謝。

著 者

目 录

第一章 电流互感器的基本概念	4
§ 1. 电流互感器的用途	4
§ 2. 电流互感器的原理結綫图及其作用原理	5
§ 3. 电流互感器的向量图和誤差公式	9
§ 4. 減小誤差的方法	15
§ 5. 电流互感器的誤差与工作条件的关系	25
§ 6. 对保护电流互感器的要求	28
§ 7. 基本定义和額定值分級	34
第二章 高压电流互感器主要型式的結構和技术数据	40
§ 1. 电流互感器的分类	40
A 戶內式电流互感器	46
§ 2. ТКФ3型繞圈式电流互感器	46
§ 3. ТПОФ10型穿墻单匝式电流互感器	49
§ 4. ТПШФА10, ТПШФА20(新型)和6000安的ТПШФ20型 穿墻母繞式电流互感器	55
§ 5. ТПФ10型穿墻式电流互感器	60
§ 6. ТФ10型支持式电流互感器	66
§ 7. 特殊用途的电流互感器	70
B 戶外式电流互感器	76
§ 8. ТФН35, ТФН110和ТФН154型电流互感器	77
§ 9. ТФН220型电流互感器	88
§ 10. ТФНК400型电流互感器	93
B 装入式电流互感器	100
§ 11. 安装在ВМ-35型油开关上的TB-35型电流互感器	102
§ 12. 安装在МКП-35型油开关上的TB-35型电流互感器	103
§ 13. 安装在МГ-35型少油开关上的ТМГ-35型电流互感器	105
§ 14. 安装在МКП-110型油开关上的TB-110和TH-110型电流互 感器	107
§ 15. 安装在МКП-220型油开关上的TB-220型电流互感器	110

§ 16. 安装在电力变压器上的 TBTL-110、TBTH-220、TBTL-	
220、TBTH-400和TBTL-400型电流互感器.....	110
第三章 电流互感器的选择	112
第四章 电流互感器的安装	116
§ 1. 戶內式电流互感器的安装	116
§ 2. 戶外式电流互感器的安装	120
§ 3. 装入式电流互感器的安装.....	125
§ 4. 在电流互感器安装过程中的检查	129
第五章 电流互感器的运行	131
第六章 在运行条件下对电流互感器修理的方法(推荐性質).....	139
§ 1. 戶內式电流互感器的修理	139
§ 2. 戶外式电流互感器的修理	141
§ 3. 电流互感器的試驗	143

附 录

1. 电流互感器的誤差計算	145
2. 电流互感器的10%倍數的計算	146
3. 341和342号变压器矽鋼片T形冲片制成的鐵心的激磁曲綫	148
4. 341和342号变压器矽鋼片制成的退火帶鐵心的激磁曲綫	149
5. 346和348号变压器矽鋼片退火冲片制成的鐵心的激磁曲綫	150
6. 3310号变压器矽鋼片制成的退火帶鐵心的激磁曲綫	151
7. 各号变压器矽鋼片制成的退火冲片及帶鐵心在大磁感应强度时 的激磁曲綫	152
8. 341和342号变压器矽鋼片T形冲片制成的退火以及未退火的鐵 心的損失角对比安匝的关系曲綫	153
9. 341和342号变压器矽鋼片制成的帶鐵心的損失角对比安匝的关 系曲綫	153
10. 346和348号变压器矽鋼片 T 形冲片制成的退火以及未退火的鐵 心的損失角对比安匝的关系曲綫	153
11. 3310号变压器矽鋼片制成的帶鐵心的損失角对比安匝的关 系曲綫	154
12. 342和3310号变压器矽鋼片制成的退火帶鐵心的導磁率对磁感 应强度的关系曲綫	154

第一章 电流互感器的基本概念

§1. 电流互感器的用途

电流互感器是任何现代电气设备中必不可缺的一个部分。不论是在生产电能、变换电能或是传输电能的电气设备，以及从低压较小功率的设备到400千伏巨大功率的高压动力系统中，都需要电流互感器。电气设备或系统的电压愈高、功率愈大，则电流互感器的作用也愈重要。因为它动作的正确性不仅影响到对工业企业、住宅、医院等等的电能的不间断供应，同时还影响到发电厂和变电站中最贵重的设备的保护，如发电机、电力变压器以及其他电机与电器等等的保护。

电流互感器属于静止的(没有运动部分的)交流电器一类。

按照它的功用来说，电流互感器可以分成两类，测量电流互感器和用作继电保护的(保护)电流互感器。

测量电流互感器用在高压线路或大电流电路中，以测量电流；亦即用在不能直接接入测量仪表的电路内。因此，测量电流互感器具有两重任务：

- 1) 将任意数值的电流转换成便于用标准仪表直接测量的电流值(普通为5安培或1安培)；
- 2) 使测量仪表及值班维护人员对高压隔离。

很明显，要保证测量结果正确，电流的变换就必须尽可能的准确，因此测量电流互感器的基本特性就是它的准确等级，即电流互感器测量时所造成的误差。

考虑到不同运行情况对电流互感器的准确度有各种不同的要求，同时又考虑到经济的一方面，故测量电流互感器是按多种准确等级制造的。

准确度最小的是3級电流互感器①，它們用来供电給次要線路中的控制电器和仪表；准确度較高的是1和0.5級，它們用来供电給电度表、瓦特表和配电盘用电流表；最后，准确度特別高的是0.2級，它用于實驗研究，当作标准电流互感器。

保护电流互感器用来供电給繼電保护線路。因此保护电流互感器要完成下列任务：

- 1) 将任意数值的交流电流变換成便于供給繼電保护線路的电流值(普通为10、5或1安培)；
- 2) 使繼电器及值班維护人員对高压隔离。

由于保护电流互感器照例只在線路发生事故，同时有短路电流流过时才开始有效的工作，因而对保护电流互感器來說，准确度的要求就局限在有短路电流作用的范围内。

因此保护电流互感器的基本特性就是所謂百分之十倍数，它表明当电流互感器的線圈中流过系統的短路电流时，互感器工作的准确度和可靠性②。

目前生产的保护电流互感器用来供电給各种不同的繼電保护線路：电流的、差动的、距离的、短路接地保护的以及其它。

尽管測量电流互感器和保护电流互感器在工作条件上有很大的差別，但它們在原理上沒有什么不同。它們有相同的結構、相同的作用原理和相同的原理結綫图。

§2. 电流互感器的原理結綫图及其作用原理

图1就是电流互感器的原理結綫图，可以很清楚地看出它的基本元件之間电磁关系的特点。这里只指出直接参与电流变换过程的基本元件，它們是：

①全苏标准OCT 3л4-40中还有一种最低准确級，就是10級。但是，在实际上，电器制造工业不把这种10級的电流互感器当成独立的产品生产。在二次負荷超过了額定值时，以及在二次線圈的輔助支路中，才允許用10級准确度的誤差等級。

②在很多情况下，保护电流互感器也具有某一准确等級，以备必要时当作測量互感器用。

- 1)一次綫圈；
- 2)磁導體(鐵心)❶；
- 3)二次綫圈。

為使結構整齊，也就是說使它的外形和尺寸合理，保證安裝和運行的質量，互感器有時還有相當多的其他元件，但是它們並不直接參與電流變換的過程。

從原理結綫圖看出，電流互感器的兩個綫圈(一次和二次)繞在同一个磁導體(鐵心)上，因而使綫圈之間產生了磁的聯繫。綫圈間沒有電的聯繫。也就是由於電流互感器具有這個特點，才能保證儀表及值班維護人員與一次綫圈的高電壓隔離開來。

從這個圖還可以看出，電流互感器的一次綫組串接在需要測量電流的線路中，因此它經常有線路的全部電流流過。電流互感器的二次綫圈上接有測量儀表或繼電器。當二次綫圈中的儀表或繼電器由於某種原因而未接入時，綫圈就必須短接起來。

因此，電流互感器在工作時，它的二次線路始終是閉路的。

電流互感器的作用原理如下。

當一次綫圈通過一次電流 I_1 時，鐵心內就產生了磁通 Φ_0 ，它既穿過一次綫圈，又穿過二次綫圈(見圖1)。變化的磁通切割綫匝時，就在一次綫圈內感應出反電勢 E_1 ，在二次綫圈內感應出感應電勢 E_2 。在後者影響下，二次綫圈的封閉回路中就出現了電流 I_2 ，我們稱之為二次電流。這樣一來，磁通 Φ_0 就成為轉換環節，它在電流變換的過程中把一次綫圈的能量傳遞到二次綫圈。

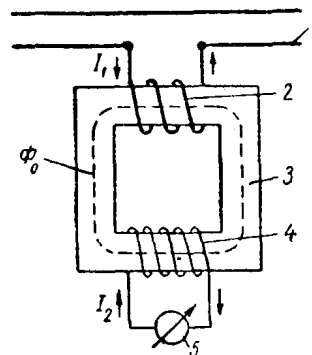


圖1 電流互感器的原理結綫圖
1—線路；2—一次綫圈；3—鐵心；4—二次綫圈；5—儀表。

❶在這裡不討論無鐵心(空氣的)電流互感器，因為在工業用電氣裝置及系統中不採用這種電流互感器。

为了闡明电流互感器的基本参数之间的关系，我们可以看一看一个理想的电流互感器的工作情况。所谓理想的电流互感器，这是指这样一种电流互感器，它在电流变换的过程中，线圈和铁心材料里都没有能量的损耗。

在理想电流互感器中，由一次线圈输入的能量和由二次线圈所得到的能量，根据能量守恒定律，它们应该相等，即

$$\Delta U_1 I_1 = E_2 I_2,$$

式中 ΔU_1 是加于一次线圈的电压，在理想电流互感器中，它就等于反电势 E_1 。

很明显，在我們討論的情况下

$$E_1 I_1 = E_2 I_2. \quad (1)$$

根据普通电工基础中已学过的感应电势的公式，我們可以写出：

$$E_1 = 4.44 f B Q w_1 \cdot 10^{-8} \text{[伏特]},$$

$$E_2 = 4.44 f B Q w_2 \cdot 10^{-8} \text{[伏特]},$$

式中 f ——电流频率，以赫芝計；

B ——磁感应强度，以高斯計；

Q ——铁心截面，以平方公分計；

w_1 ——一次线圈的匝数；

w_2 ——二次线圈的匝数。

将 E_1 和 E_2 的式子代入(1)式中，同时注意到在两个式子中， f 、 B 和 Q 都是相同的，經過簡化之后，我們就可以得到电流互感器的一个很重要的等式：

$$I_1 w_1 = I_2 w_2 \quad (2)$$

或 $AW_1 = AW_2,$ (3)

式中 AW_1 为乘积 $I_1 w_1$ 的标记，我們称它为一次安匝；

AW_2 为乘积 $I_2 w_2$ 的标记，我們称它为二次安匝。

从等式(2)可以得出

$$\frac{I_1}{I_2} = \frac{w_2}{w_1}, \quad (4)$$

即是說，电流互感器的电流和它的綫圈的匝数成反比。

一次电流对二次电流的比值($\frac{I_1}{I_2}$)或二次匝数对一次匝数的比值($\frac{w_2}{w_1}$)称为电流互感器的变比。

由于匝数比 $\frac{w_2}{w_1}$ 是一个常数(对已給定的电流互感器)，式

(4)就說明，电流互感器的一次电流和二次电流之間存在着比例关系。这个关系表明了电流互感器的突出的特点，同时也就是測量互感器測量电流的基础。

从等式(2)还可以得出另一个对測量技术很重要的关系：

$$I_1 = I_2 \frac{w_2}{w_1}, \quad (5)$$

它可以以下列文字說明：一次电流 I_1 就等于由仪表测出的二次电流 I_2 乘上电流互感器的变比。

再回到等式(2)和(3)来。这两个等式还指出，理想电流互感器的一次安匝和二次安匝在数值上(仅只在数值上!)相等。

实际上，一次电流和二次电流，以及和它們相对应的安匝，在时间上彼此相差电角度180度。因之，一次安匝和二次安匝之間的关系就不能用算术等式，而需以几何等式来表示。

表明一次安匝和二次安匝之間的关系的几何等式称为安匝方程式，其形式如下：

$$\overline{AW}_1 = -\overline{AW}_2. \quad (6)$$

与理想电流互感器不同，实际的电流互感器在工作时还有能量損耗，它們消耗在：使铁心中产生磁通、铁心发热、磁滞以及二次綫圈的发热。变换电流过程的同时产生能量損耗，就破坏了上面所得到的安匝等式(3)和(6)。因而在实际的电流互感器中，一次安匝不只应保証产生所需要的二次安匝，如在理想电流互感器中一样，而且还需要一些附加的安匝，以供給铁心激磁和其它一些能量損耗。

因之，对于实际电流互感器，下列安匝方程式才是正确的：

$$\overline{AW}_1 = -\overline{AW}_2 + \overline{AW}_0, \quad (7)$$

式中 AW_0 称为总激磁安匝，为消耗在铁心激磁、铁心发热和磁滞的安匝总数。将(6)和(7)式加以比较，可以看出，实际电流互感器和理想电流互感器的安匝方程式的不同之点就在于 AW_0 一项。

很明显，安匝方程式的变化，也使得由这个方程式所推出的一些关系有了变化，其中包括(4)式和(5)式。

然而，由于在设计电流互感器时采取了一些减少能量损耗的措施①，使方程式(7)中的安匝 AW_0 所占的比重大大下降，结果就使得首先由理想电流互感器所导出的关系式(4)和(5)，对实际的电流互感器仍然保持了它们的意义。不过，即使如此，电流变换过程中所产生的能量损耗仍会在互感器的工作中反映出来。在某些情况下，它们使电流互感器出现了误差，而使工作的准确度降低。

由实际电流互感器的向量图中可以对它的工作情况得到一个清晰的概念。

§3. 电流互感器的向量图和误差公式

为了详细地了解图2所示的电流互感器的向量图，我们从它的绘制过程讨论起。

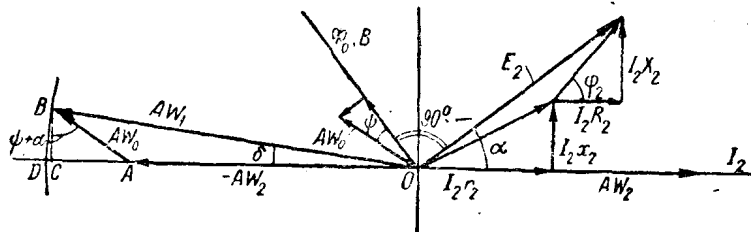


图2 电流互感器的向量图

①参看§4。

从§2已經知道，一次安匝消耗在：第一是产生二次安匝，它由已給定的流过二次綫圈的二次电流 I_2 决定；第二是产生附加安匝，来供給鐵心激磁及电流变换过程中发生的所有可能的能量損耗。

要滿足上面所提出的要求，究竟需要多大的一次安匝呢？借助图2的向量图就可以回答这个問題。繪制向量图时，我們从二次电流 I_2 出发。

一般除了額定电流 I_1 和 I_2 已知之外，繪制向量图时还应給出：

- 1) 二次綫圈的数据——匝数 w_2 、有效电阻 r_2 和感抗 x_2 ；
- 2) 鐵心的尺寸——磁路的平均长度 L 和計算截面 Q ；
- 3) 鐵心材料及其磁的性能；
- 4) 二次(外部)負荷 Z_2 ，包括接入互感器二次綫路中的所有繼电器和仪表的阻抗；以及負荷的功率因数 $\cos \varphi_2$ 。

画一个直角坐标，以它的横坐标作为二次电流向量的方向。画出二次綫圈的电压降三角形(按电压比例)。从坐标原点出发，在横坐标向右截取綫圈中电压降的有效分量($I_2 r_2$)，它和二次电流 I_2 的方向相同。在向量 $I_2 r_2$ 的末端成 90° 截取綫圈中电压降的感抗分量 $I_2 x_2$ 。在这个向量的末端，以同样的方法，平行于横坐标画出外負荷电压降的有效分量 $I_2 R_2 (I_2 Z_2 \cos \varphi_2)$ ，再平行于縱坐标画出外負荷电压降的感抗分量 $I_2 X_2 (I_2 Z_2 \sin \varphi_2)$ 。最后的封閉向量就是二次綫圈的电动势：

$$E_2 = I_2 \sqrt{(r_2 + R_2)^2 + (x_2 + X_2)^2} . \quad (8)$$

知道了电动势的大小，就不难按下式求出产生这个电动势所必需的磁感应强度(最大值)：

$$B_{max} = \frac{E_2 \cdot 10^8}{4.44 f w_2 Q} = \frac{45,000 E_2}{w_2 Q} [\text{高斯}] ; \quad (9)$$

其中 E_2 应以伏特代入，而鐵心截面則为平方公分。頻率 f 等于50赫芝。

从普通电工学已經知道，磁通以及和它方向相同的磁感应强

度越前于它們所产生的电动势 90° 。因而，产生电动势 E_2 的磁通 Φ_0 和磁感应强度 B 在向量图上以向量的方式表示时，就应越前电动势 E_2 90° 。但是，在繪制向量图时，一般不利用 Φ_0 和 B 两向量，因此在图上我們只标出它們的方向。

知道了向量 Φ_0 和 B 的方向以及磁感应强度的数值之后，不難画出总激磁安匝 AW_0 向量。后者应越前 Φ_0 和 B 两向量 ψ 角， ψ 角表示有功能量損耗对无功能量損耗的比值，因而称为損耗角。

ψ 角可由实验曲綫(按給定的磁性材料求出)，亦即对磁感应强度(最大值)的关系求出：

$$\psi = f(B_{\max}).$$

图3就是一个具体例子，它是中等質量的3310号变压器矽鋼片①的損耗角对磁感应强度的关系。

总安匝 AW_0 的絕對值可以由下式計算：

$$AW_0 = AW_0/\text{公分} \times L,$$

这里 $AW_0/\text{公分}$ ——比激磁安匝，即一公分长的磁导体磁路所

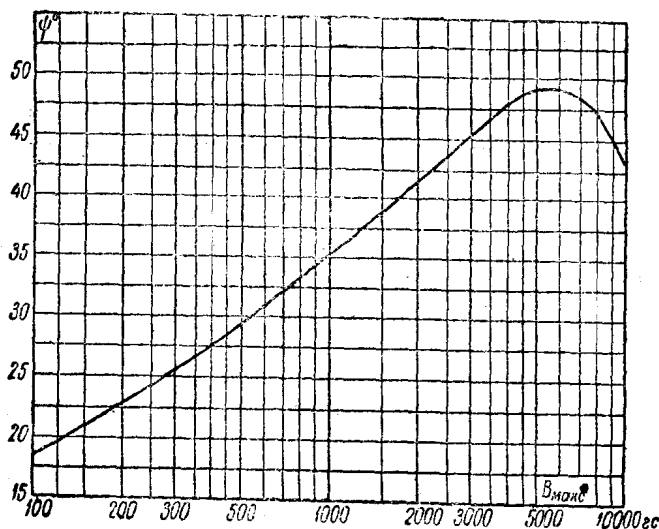


图3 中等質量的3310号矽鋼片的損耗角对磁感应强度的关系曲綫

①将在§4內較詳細地談到各種型号的变压器矽鋼片。

需的安匝数，而 L ——磁导体磁路的平均长度，以公分計。

比安匝 AW_0 /公分可由激磁曲綫求出，激磁曲綫就是磁感应强度(最大值)对激磁安匝的关系曲綫：

$$B_{max} = f(AW_0/\text{公分}).$$

图4是一个具体例子，它是Ω310号变压器矽鋼片的激磁曲綫。

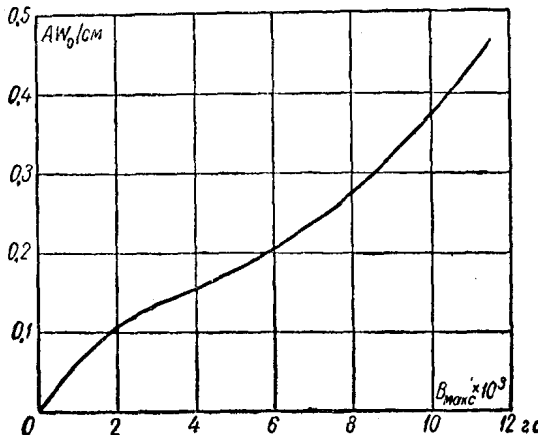


图4 中等質量的Ω310号矽鋼片的比安匝对磁感应强度的关系曲綫(激磁曲綫)。

按已算出的磁感应强度求出 ψ 和 AW_0 的數值之后，不難画出 AW_0 向量(按安匝比例)。为方便起見，我們就把坐标原点作为它的起点。然后，从坐标原点开始，在横坐标上向右截取二次安匝向量 AW_2 (和 AW_0 的比例相同)，再在相反的方向截取向量 $-AW_2$ ，它的数值和 AW_2 相等。在向量 $-AW_2$ 的端点，按向量 AW_0 的方向和数值画出向量 AW_0 。封闭向量 OB 就是要求的一次安匝 AW_1 。

从向量图上看得很清楚，向量 AW_1 的數值和方向都与向量 $-AW_2$ 有一些差別。

很明顯，从絕對值來說， $AW_1 > AW_2$ 。但 $AW_1 = I_1 w_1$ ， $AW_2 = I_2 w_2$ ，因而：

$$I_1 w_1 > I_2 w_2 \text{ 或 } I_1 > I_2 \frac{w_2}{w_1},$$

式中 I_1 ——一次电流的实际(被测量的)数值;

$I_2 \frac{w_2}{w_1}$ ——一次电流的計算值，借助电流互感器測量結果算出。

一次电流的实际数值和由測量結果計算出的数值之間的差值就表示用电流互感器測量时产生的誤差。

誤差有两种: a) 电流誤差和b) 角誤差。

所謂电流誤差就是两个电流——用电流互感器測出的电流和实际的一次电流——之算术差对实际电流值之比。电流誤差照例以百分比表示。

所謂角誤差就是二次电流对于它的理想方向的角偏移，理想方向和一次电流的方向成 180° 的角度。通常角誤差是以分表示的。

由定义出发，电流誤差为：

$$f_i = \frac{I_2 \frac{w_2}{w_1} - I_1}{I_1} 100\%.$$

和額定一次电流相对应的电流誤差值称为电流互感器的額定电流誤差。額定电流誤差为：

$$f_{in} = \frac{I_{2o} \frac{w_2}{w_1} - I_{1n}}{I_{1n}} 100\%,$$

式中 I_{1n} ——电流互感器的額定一次电流；

I_{2o} ——电流互感器的实际(由仪表測得的)二次电流。

但是，大家都知道比值 $\frac{w_2}{w_1}$ 就是电流互感器的变比 k ，因而

$$f_{in} = \frac{kI_{2o} - I_{1n}}{I_{1n}} 100\%. \quad (10)$$

将分子分母以 k 除，我們就得到轉化到額定二次电流的电流誤差：

$$f_{in} = \frac{I_{2o} - I_{2n}}{I_{2n}} 100\%. \quad (11)$$

从(10)式和(11)式可以看出，电流互感器的額定电流誤差就

等于两个电流(实际的和额定的)之差值对额定电流的比值，以百分比表示。如果实际电流小于额定电流，则电流误差认为是负的，相反则为正值。

我们需要推出以电流互感器的结构数据(铁心的截面和材料，线圈匝数等等)为基础的计算公式，必须再回到图2所示向量图来。我们注意到，向量 AW_1 和 $-AW_2$ 之间的算术差 AD 线段，就表示电流互感器的电流误差。从 B 点向横坐标轴引一条垂线，与横轴交于 C 点。不难证明，角 $\angle ABC = \psi + \alpha$ 。

为简化公式的推导，在以后的计算中我们将以线段 AC 代替线段 AD 。如果注意到， δ 角通常很小，因而 AD 和 AC 的差值 CD 可以忽略不计，上面这样的代换是完全容许的。

从三角形 ABC 得出：

$$AC = AW_0 \sin (\psi + \alpha).$$

将等式两端以 AW_1 除之，并乘以100，换句话说，就是将误差转化到一次安匝 AW_1 去，并以百分比表示，我们就得到电流互感器的额定电流误差的最终计算公式：

$$f_{in} = \frac{AW_0}{AW_1} \sin (\psi + \alpha) 100\%. \quad (12)$$

这个式子所计算出的误差的符号本身就是负的，因为向量 AW_2 永远小于向量 AW_1 。

我们也碰到电流互感器有正的电流误差，这是因为采取了一些人为的措施，降低了误差或改变了它们的特性的结果。

从同一个向量图(图2)可以看出，一次安匝向量和二次安匝向量之间的角度为 180° 差一个 δ 角。这个 δ 角就是电流互感器的角误差。

因而，电流互感器的角误差就是一次安匝向量(AW_1)和转了 180° 的二次安匝向量($-AW_2$)之间的角度，以分表示。

可以从三角形 OBC 中求得角误差。很明显，其中

$$\sin \delta = \frac{BC}{AW_1}.$$